

МАТЕРИАЛОВЕДЕНИЕ И ТЕХНОЛОГИЯ. ДИЭЛЕКТРИКИ

УДК 621.315.61

LiTaO₃ — МНОГОФУНКЦИОНАЛЬНЫЙ МАТЕРИАЛ ОПТО– И АКУСТОЭЛЕКТРОНИКИ

© 2013 г. О. А. Бузанов, С. А. Сахаров, Д. В. Рощупкин¹,
Е. В. Емелин¹, С. Д. Лавров²
ОАО «ФОМОС Материалс»,

¹Федеральное государственное бюджетное учреждение науки
Институт проблем технологии микроэлектроники и особочистых материалов РАН,
²Московский государственный технический университет
радиотехники, электроники и автоматики

Представлены результаты возможного применения сегнетоэлектрических кристаллов LiTaO₃ в акусто– и опто–электронике. Высокие значения пьезоэлектрических констант позволяют создавать резонаторы на объемных акустических волнах. Возможность прямой электронно–лучевой переполаризации кристалла LiTaO₃ позволяет формировать доменные структуры с шириной доменов от десятков нанометров до десятков микрометров. Периодические сегнетоэлектрические доменные структуры в кристалле LiTaO₃ использованы в качестве оптической дифракционной решетки и для генерации второй гармоники оптического излучения.

Ключевые слова: сегнетоэлектрический кристалл LiTaO₃, электронно–лучевая переполаризация, ОАВ–резонаторы

Введение

Развитие современных телекоммуникационных систем связано с развитием акусто– и оптоэлектронных устройств, позволяющих передавать и обрабатывать акустические и оптические сигналы в режиме реального времени [1–6]. Большое значение имеет поиск соответствующих материалов, которые обладают хорошими оптическими и акустическими свойствами. В этом случае большие перспективы имеют сегнетоэлектрические кристаллы LiNbO₃ и LiTaO₃. Данные материалы обладают хорошими оптическими свойствами, большими значениями пьезоэлектрических констант, что позволяет использовать эти материалы для опто– и акустоэлектронных устройств. Большое значение имеет совершенство кристаллической структуры. Сегнетоэлектрические кристаллы LiNbO₃ и LiTaO₃ выращивают методом Чохральского, однако в процессе роста формируется полидоменный кристалл, что является энергетически выгодным состоянием для сегнетоэлектрического кристалла.

Для формирования монодоменного кристалла синтезированный полидоменный кристалл нагревают до температуры Кюри и прикладывают электрическое поле вдоль направления полярной оси Z, осуществляя процесс монодоменизации. Далее кристалл медленно охлаждают в условиях приложения внешнего электрического поля, что позволяет в итоге получить монодоменный монокристалл с равномерными оптическими и пьезоэлектрическими свойствами.

Большие перспективы применения кристаллов LiTaO₃ открываются с возможностью формирования доменных структур с заданными размерами от нескольких нанометров до нескольких миллиметров. Среди методов переполаризации и формирования сегнетоэлектрических доменных структур следует отметить метод послеростовой термоэлектрической обработки вблизи температуры Кюри в условиях приложения к кристаллу знакопеременного электрического поля [7], который позволяет получать объемные доменные структуры с шириной доменов от 10 мкм до нескольких

миллиметров, и метод прямой электронно–лучевой переполаризации [8], с помощью которого в тонких кристаллах можно формировать доменные структуры с размерами доменов от нескольких нанометров до нескольких микрометров. Возможность формирования периодических доменных структур с заданной шириной доменов позволяет находить новые перспективные виды применения в опто– и акустоэлектронике. Прежде всего это возможность удвоения частоты оптического излучения [9] и генерации поверхностных акустических волн [10].

Ниже представлены результаты исследования кристалла LiTaO_3 , выращенного методом Чохральского. Рассмотрена возможность применения пьезоэлементов из кристалла LiTaO_3 для резонаторов на объемных акустических волнах (ОАВ).

Для проведения исследований оптических свойств в кристалле LiTaO_3 сегнетоэлектрические доменные структуры сформировали методом прямой электронно–лучевой переполаризации. Эти доменные структуры использовали в качестве оптических дифракционных решеток и для генерации второй гармоники оптического излучения.

Синтез кристаллов LiTaO_3

Сегнетоэлектрические кристаллы LiTaO_3 выращивают из расплава методом Чохральского при температуре $T_{\text{пл}} = 1660$ °С. В качестве материала тигля используют тугоплавкий Ir. Кристалл LiTaO_3 характеризуется температурой Кюри $T_C = 660$ °С, при которой происходит переход из парафазы в сегнетофазу. При комнатной температуре значение вектора спонтанной поляризации кристалла LiTaO_3 составляет $P_S = 60$ мкКл/см². На рис. 1 приведено изображение синтезированного кристалла LiTaO_3 . После процесса роста кристалл является полидоменным, так как такое состояние соответствует минимуму энергии полярного кристалла. В опто– и акустоэлектронике используют кристаллы с совершенной кристаллической структурой, поэтому необходимо осуществить процесс монодоменизации.

Для процесса монодоменизации кристалла LiTaO_3 на полярные Z –поверхности кристалла на-

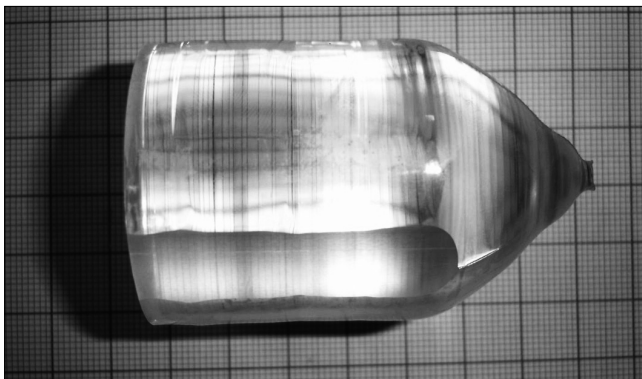


Рис. 1. Кристалл LiTaO_3 , выращенный вдоль полярной оси Z {00.1}

Рис. 2. РЭМ–микрофотография полоскового резонатора на основе X –среза кристалла LiTaO_3 ($f_0 = 15,3635$ МГц)

носят иридиевые (или платиновые) электроды и помещают кристалл в печь. В печи кристалл нагревают до температуры Кюри, прикладывают к кристаллу внешнее электрическое поле, которое превышает соответствующее значение спонтанной поляризации P_S и затем медленно охлаждают до комнатной температуры. Такой процесс монодоменизации позволяет получить монокристалл LiTaO_3 с практически совершенной кристаллической структурой.

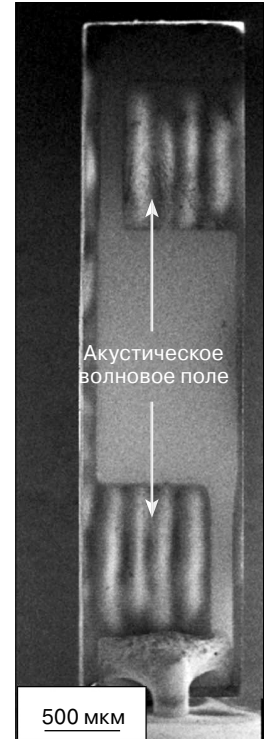
Резонаторы на объемных акустических волнах

Пьезоэлектрические константы кристалла LiTaO_3 на порядок превышают значения пьезоконстант в кристалле пьезокварца SiO_2 при хорошей термостабильности акустических свойств. Поэтому применение кристаллов LiTaO_3 весьма привлекательно для изготовления резонаторных структур на ОАВ. На рис. 2 приведена микрофотография полоскового ОАВ–резонатора на основе X –среза кристалла LiTaO_3 со специальной структурой Ag –электродов. Для визуализации акустического волнового поля в резонаторе в режиме реального времени использовали метод растровой электронной микроскопии (РЭМ) в режиме регистрации низкоэнергетичных вторичных электронов [11–13].

На рис. 2 на свободной поверхности резонатора представлено изображение акустического волнового поля в резонаторе при возбуждении поперечной объемной волны на резонансной частоте $f_0 = 15,3635$ МГц.

Формирование периодических доменных структур в кристаллах LiTaO_3 и исследование их оптических свойств

Для исследования процесса переполаризации кристалла LiTaO_3 были изготовлены пластины 127° –ого Y' –среза (плоскости (104) параллельны поверхности кристалла) толщиной 300 мкм с двусторонней полировкой поверхности. В Y' –срезе кристалла LiTaO_3 полярная ось Z составляет 37° с поверхностью подложки. Процесс электронно–лучевой переполаризации осуществляют на $-Z'$ –поверхности подложки. На $+Z'$ –поверхность подложки напыляют слой Al толщиной 100 нм и данную поверхность заземляют.



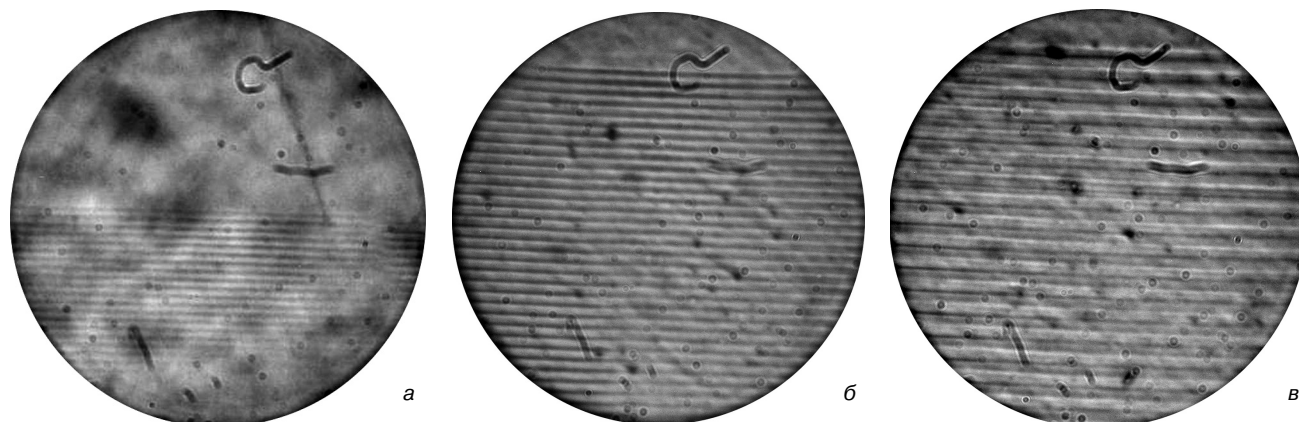


Рис. 3. Сегнетоэлектрические доменные структуры, сформированные методом прямой электронно-лучевой переполаризации в кристалле LiTaO_3 с различной шириной доменов: а — 1 мкм; б — 5; в — 10

Особенностью процесса электронно-лучевой переполаризации кристалла LiTaO_3 является то, что доменная структура прорастает от отрицательной поверхности к положительной, и процесс переполаризации является контролируемым. В кристаллах LiNbO_3 процесс переполаризации осуществляют также путем электронно-лучевой литографии на отрицательной поверхности подложки; процесс переполаризации начинают с положительной поверхности и идут к отрицательной поверхности.

На рис. 3 представлены сегнетоэлектрические доменные структуры, сформированные методом электронно-лучевой литографии в 127° -ном Y' -срезе кристалла LiTaO_3 с шириной доменов 1, 5 и 10 мкм. Площадь доменной структуры составляет 400×400 мкм². Следует отметить, что при формировании доменных структур в 127° -ном Y' -срезе кристалла LiTaO_3 домены прорастают не по нормали к поверхности подложки, а под углом 37° к поверхности вдоль направления вектора спонтанной поляризации P_S вдоль полярной оси Z . Небольшая величина P_S позволяет осуществлять контролируемый процесс электронно-лучевой переполаризации (контроль методом РЭМ в процессе переполаризации).

Для исследования сегнетоэлектрических доменных структур использовали оптические дифракционные методы. На рис. 4 представлена дифракция оптического излучения на сегнетоэлектрической доменной структуре при нормальном падении. В этом случае доменная структура является эффективной дифракционной решеткой.

Также исследовали процесс оптического излучения на сегнетоэлектрической доменной структуре с шириной доменов 5 мкм. Для исследования процесса



Рис. 4. Дифракция оптического излучения на доменной структуре с шириной доменов 5 мкм

генерации второй гармоники использовали фемтосекундный титан-сапфировый лазер с частотой повторения импульсов 100 МГц и шириной импульсов 90 фс. В ходе эксперимента использовали длину волны накачки 800 нм. Средняя выходная мощность с длиной волны 400 нм (вторая гармоника оптического излучения с длиной волны 800 нм) составляла 0,3 Вт (рис. 5).

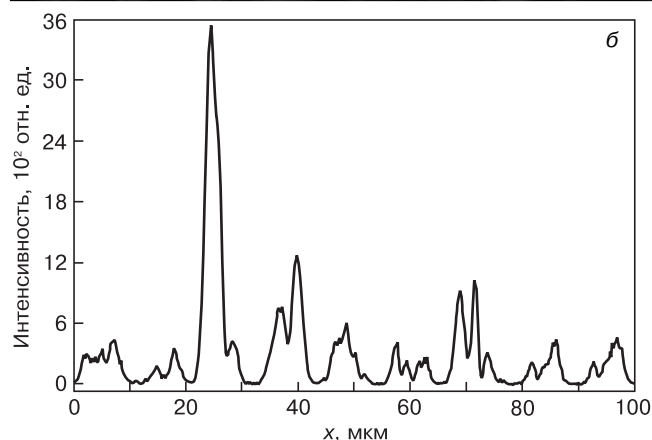
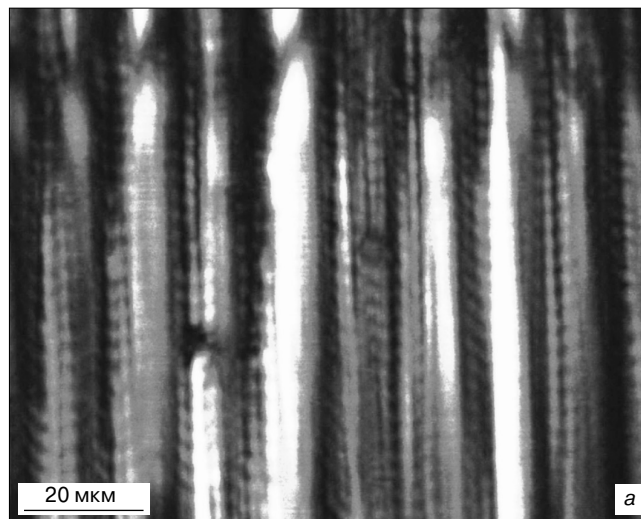


Рис. 5. Генерация второй гармоники оптического излучения с длиной волны 800 нм на доменной структуре в кристалле LiTaO_3 с шириной доменов 5 мкм: а, б — двухмерное и поперечное распределение выхода второй гармоники оптического излучения соответственно

Заключение

Представлены результаты синтеза и применения сегнетоэлектрического кристалла LiTaO_3 в опто- и акустоэлектронике. Показано, что кристаллы LiTaO_3 могут быть использованы при создании резонаторов на ОАВ. Продемонстрирована возможность формирования 180° -ных сегнетоэлектрических доменных структур в кристаллах LiTaO_3 методом прямой электронно-лучевой переполяризации. Показано, что метод электронно-лучевой переполяризации позволяет формировать большие массивы 180° -ных сегнетоэлектрических доменов с заданной шириной доменов. Сформированные доменные структуры могут быть использованы в качестве дифракционных решеток и для удвоения частоты оптического излучения (генерация второй гармоники оптического излучения).

Библиографический список

1. Campbell, C. Surface acoustic wave devices and their signal processing applications / C. Campbell. – L. : Acad. Press, 1989. – 470 p.
2. Dieulesaint, E. Ondes elastique dans les solids / E. Dieulesaint, D. Royer. – Paris: Masson, 1974. – 339 p.
3. Oliner, A. Poverhnostnye akusticheskie volny / A. Oliner. – M. : Mir, 1981. – 390 p.
4. Rechickii, V. I. Akusticheskie radiokomponenty / V. I. Rechickii. – M. : Radio i svyaz', 1987. – 193 p.
5. Kaino, G. Akusticheskie volny / G. Kaino. – M. : Mir, 1990. – 652 p.
6. Yariv, A. Opticheskie volny v kristallah. / A. Yariv, P. Yuh. – M. : Mir, 1987. – 616 s.
7. Antipov, V. V. Formation of regular structures in the ferroelectric LiNbO_3 and LiTaO_3 near the phase transition / V. V. Antipov, A. A. Blistanov, N. G. Sorokin // Sov. Phys. Crystallogr. – 1985. – V. 30. – P. 428–430.
8. Gupta, M. C. Second-harmonic generation in bulk and waveguide LiTaO_3 with domain inversion induced by electron beam scanning / M. C. Gupta, W. Kozlovsky, A. C. G. Nutt // Ibid. – 1994. – V. 64, N 24. – P. 3210–3212.
9. Yamada, N. First-order quasi-phase matched LiNbO_3 waveguide periodically poled by applying an external field for efficient blue second-harmonic generation / N. Yamada, N. Nada, M. Saitoh, K. Watanabe // Ibid. – 1993. – V. 62, N 1. – P. 435–436.
10. Roshchupkin, D. V. Scanning electron microscopy observation of excitation of the surface acoustic waves by the regular domain structures in the LiNbO_3 crystals / D. V. Roshchupkin, Th. Fournier, M. Brunel, O. A. Plotitsyna, N. G. Sorokin // Ibid. – 1992. – V. 60, N 19. – P. 2330–2331.
11. Roshchupkin, D. V. Scanning electron microscopy observation of the interaction between the surface acoustic waves and regular domain structures in the LiNbO_3 crystals / D. V. Roshchupkin, Th. Fournier, M. Brunel, O. A. Plotitsyna, N. G. Sorokin // Scanning Microscopy. – 1992. – V. 6, N 4. – P. 993–996.
12. Dremova, N. N. Zaryadovyi mehanizm formirovaniya metastabil'nogo potencial'nogo kontrasta poverhnostnoi akusticheskoi volny v REM / N. N. Dremova, A. I. Erko, D. V. Roshchupkin // Zhurn. tehn. fiziki. – 1988. – T. 58, N 9. – S. 1763–1766.
13. Roshchupkin, D. V. Scanning electron microscopy visualization of surface acoustic wave propagation in a LiNbO_3 crystal / D. V. Roshchupkin, M. Brunel // Acustica. – 1995. – V. 81. – P. 173–176.

Работа выполнена при финансовой поддержке Министерства образования и науки Российской Федерации (ГК № 16.513.12.3002).

УДК 621.318

ФОРМИРОВАНИЕ БИДОМЕННОЙ СТРУКТУРЫ В ПЛАСТИНАХ МОНОКРИСТАЛЛОВ НИОБАТА ЛИТИЯ МЕТОДОМ СТАЦИОНАРНОГО ВНЕШНЕГО НАГРЕВА

© 2013 г. А. С. Быков, С. Г. Григорян, Р. Н. Жуков, Д. А. Киселев, С. В. Ксенич, И. В. Кубасов, М. Д. Малинкович, Ю. Н. Пархоменко
Национальный исследовательский технологический университет «МИСиС»

Разработан метод создания бидоменной структуры в пластинах монокристаллов ниобата лития, основанный на формировании заданного распределения градиента температуры по толщине образца путем стационарного внешнего нагрева. Нагрев пластины LiNbO_3 , которая помещается между двумя пластинами кремния, осуществляют за счет поглощения кремнием световой энергии ламп установки светового отжига. Схема технологической ячейки позволяет формировать и регулировать мощности тепловых потоков, входящих в сегнетоэлектрическую пластину с обеих сторон, создавая

градиенты температур, необходимые для управляемого процесса образования двух доменов с направленными друг к другу векторами поляризации (доменная структура «голова к голове»). Экспериментально подтверждена эффективность применения светового поглощения для формирования внешних тепловых источников, при помощи которых можно осуществлять как симметричный, так и асимметричный нагрев, определяющий положение условной поверхности с нулевым температурным градиентом и, следовательно, положение междоменной границы. В пластине LiNbO_3 толщиной 1,6 мм и длиной 60 мм сформирована симметрич-

ная бидоменная структура с противоположно направленными векторами поляризации. Исследована зависимость изгибной деформации консолидно закрепленного образца от электрического напряжения в интервале от -300 до $+300$ В амплитуда деформации составила более 35 мкм. Показана высокая линейность и повторяемость характеристики «электрическое напряжение — изгибная деформация».

Ключевые слова: бидоменная структура, монокристалл ниобата лития, нагрев световым излучением, стационарные тепловые потоки, электромеханические актюаторы.